

اهمیت کروموزوم ۴ در کنترل ژنتیکی صفات مرتبط با سنبله در جو

زینب تقی‌زاده^۱، حسین صبوری^{۱*}، حسین حسینی‌مقدم^۱، حسین علی فلاحی^۲ و مهناز کاتوزی^۳

^۱ ایران، گنبدکاووس، دانشگاه گنبدکاووس، دانشکده کشاورزی، گروه تولیدات گیاهی

^۲ ایران، ساری، سازمان تحقیقات آموزش و ترویج کشاورزی، بخش تحقیقات زراعی و باخ

^۳ ایران، گرگان، دانشگاه علوم کشاورزی و منابع طبیعی گرگان، گروه اصلاح نباتات و بیوتکنولوژی

تاریخ پذیرش: ۹۶/۴/۲۵ تاریخ دریافت: ۹۵/۹/۲۶

چکیده

به منظور مکان‌یابی QTL‌های کنترل‌کننده صفات مربوط به سنبله جمعیتی شامل F_3 خانواده F_4 و F_4 جو حاصل از تلاقی ارقام بادیا \times کویر به مدت دو سال (۱۳۹۳-۹۵) در مزرعه تحقیقاتی دانشگاه گنبدکاووس در قالب طرح بلوكهای کامل تصادفی با سه تکرار ارزیابی شدند. صفات مورد بررسی شامل: تعداد دانه در سنبله، طول سنبله، تعداد سنبلچه در سنبله، وزن کل سنبله، تعداد کل سنبله و طول ریشک بودند. بر اساس مکان‌یابی فاصله‌ای مرکب برای صفات مورد مطالعه در مجموع ۱۹ QTL به دست آمد. واریانس فنتیپی توجیه شده به وسیله این QTL‌ها از ۱۰ تا ۳۴ درصد متغیر بود. بیشترین واریانس فنتیپی در سالهای اول و دوم به ترتیب برای صفات طول ریشک و تعداد دانه در سنبله به دست آمد. بیشترین و کمترین LOD به ترتیب مربوط به QTL‌های تعداد دانه در سنبله و طول سنبله در سال دوم به دست آمد. اثر افزایشی مشبت و منفی برای QTL‌های شناسایی شده بیان‌گر انتقال آلل‌های مطلوب از هر دو والد به نتاج در جایگاه‌های مذکور بود. پنج QTL مشترک برای صفات تعداد دانه در سنبله، وزن کل سنبله، تعداد سنبلچه در سنبله، طول سنبله و طول ریشک مکان‌یابی گردید نشانگرهای دارای پیوستگی شدید با QTL‌های بزرگ اثر، می‌توانند در برنامه‌های گرینش به کمک نشانگر برای گرینش خانواده‌های برتر و نیز انتقال آلل‌های مطلوب به ارقام اصلاحی مورد استفاده قرار گیرند.

واژه‌های کلیدی: تجزیه QTL، جو، نقشه پیوستگی، نشانگر ریز ماهواره.

* نویسنده مسئول، تلفن: ۰۹۱۱۱۴۳۸۹۱۷، پست الکترونیکی: hos.sabouri@gmail.com

مقدمه

تراکم دانه از مهم‌ترین صفات مورفولوژی سنبله در جو هستند. این دو صفت نه تنها در عملکرد تأثیر می‌گذارند بلکه عصاره مالت جو را هم تحت تأثیر قرار می‌دهند (۱۰). یکی از کاربردهای مهم نشانگرهای مولکولی، بهبود و افزایش کارآبی روش‌های مرسم اصلاح نباتات از طریق انتخاب غیرمستقیم توسط نشانگرهای مولکولی پیوسته با صفات است. نشانگرهای مولکولی در مورد صفات تک رنی و هم در مورد مکانهای کنترل‌کننده صفات کمی مورد استفاده قرار می‌گیرد. امروزه از نشانگرهای مولکولی در

جو پس از گندم، ذرت و برنج چهارمین غله مهم در جهان، با تولیدی در حدود ۱۵۰-۱۶۰ میلیون تن است و جزو ده محصول برتر جهان به شمار می‌آید. ایران با تولید ۳/۶ میلیون تن جو در سال، سیزدهمین کشور تولید کننده جو در جهان است (۲۸). این محصول، در بسیاری از نواحی جهان به دلایل فرهنگی و اقتصادی به علت استفاده در تولید مالت، کشت می‌شود (۱۲). صفات مربوط به مورفولوژی سنبله از جمله تراکم دانه، طول سنبله و طول ریشک از اهمیت مهمی در بهبود غلات محسوب می‌شوند. طول سنبله و

درصد از تنوع این صفت را توجیه نمود (۳). بنت و همکاران (۹) جهت مکانیابی QTL‌های کنترل کننده عملکرد و اجزای عملکرد جو بهاره بهوسیله نشانگر رگرسیون، هفت QTL برای وزن هزار دانه و پنج QTL برای تعداد دانه در سنبله شناسایی کردند. لی و همکاران (۱۵) مکانیابی QTL‌های کنترل کننده عملکرد و اجزای عملکرد را در جمعیت جو بهاره با استفاده از ۶۰ نشانگر ریز ماهواره انجام دادند آنها برای عملکرد دانه سه QTL برای تاریخ سنبله‌دهی و چهار QTL برای طول دو QTL برای سنبله شناسایی کردند که همه QTL‌های شناسایی شده سنبله شناسایی کردند از واریانس فتوتیپی صفت مربوطه را تقریباً ۱۰ درصد از واریانس فتوتیپی صفت مربوطه را کنترل کردند. سه QTL برای تعداد سنبله‌چه در سنبله شناسایی شد که این QTL‌ها ۷/۵ تا ۳۶/۸ درصد از واریانس فتوتیپی صفت مربوطه را با ۱/۲۴ LOD تا ۸/۰۸ تا ۱۱/۰۲ کردند. احمدی و همکاران (۱) به منظور مکانیابی QTL‌های کنترل کننده اجزای عملکرد در ۵۹ لاین، تلاقی برگشتی پیشرفته برای طول سنبله در هریک از کروموزومهای ۱، ۲، ۴، ۱۱ و ۱۲ تعداد دو QTL را مکانیابی کردند و برای تعداد سنبله‌چه سه QTL (دو QTL با اثر کروموزومی منفی و یک QTL با اثر افزایشی مثبت) که در افزایشی منفی و یک QTL با اثر افزایشی مثبت) که در کروموزومهای ۱ و ۱۲ واقع بودند را شناسایی کردند. اهداف اصلی این تحقیق، مکانیابی QTL‌ها، برآورد میزان تأثیر هر یک از QTL‌ها و تعیین نشانگرهای مولکولی پیوسته با QTL‌ها و پیشنهاد آنها برای گرینش به کمک نشانگر می‌باشد.

مداد و روشهای

به منظور مکانیابی QTL‌های مرتبط با صفات سنبله در جو، آزمایشی با ۱۰۳ خانواده حاصل از تلاقی دو رقم بادیا و کویر در نسلهای F_3 (سال اول) و F_4 (سال دوم) در مزرعه تحقیقاتی دانشکده کشاورزی دانشگاه گنبدکاووس در قالب طرح بلوهای کامل تصادفی با سه تکرار به مدت دو سال (۹۴-۱۳۹۵ و ۹۴-۱۳۹۶) انجام شد. هر خانواده در

مطالعات تنوع رنتیکی، تهیه نقشه رنتیکی و مکان یابی رنها استفاده می‌شود (۵۰ و ۲). نشانگرهای مولکولی چون تحت تأثیر محیط قرار نمی‌گیرند، در تمام مراحل رشدی گیاه می‌توان آنها را به کار برد (۲۲). QTL قسمتی از ژنوم است که تأثیر زیادی روی ظاهر صفت کمی می‌گذارد و معمولاً شامل تعداد بسیار زیادی ژن است که همه یا بعضی و یا گاهی حتی فقط یکی از آنها به صفت کمی مربوط می‌باشد و معمولاً بیش از یک QTL برای صفت کمی شناسایی می‌شود (۱۱).

شاهین نیا و همکاران (۴) به منظور مکان یابی QTL های کنترل کننده عملکرد و اجزای عملکرد در ۹۹ لاین اینبرد Kanto F₁₃ جو حاصل از تلاقی دو والد نوترکیب نسل Azumamugi با استفاده از ۶۲ نشانگر Nakate Gold، AFLP ۳۴ نشانگر STS، ۲ نشانگر ایزو زایم و ۲ نشانگر مورفولوژیک برای تعداد دانه در سنبله یک QTL در فاصله نشانگرهای e13m31.7.1 و e13m23.6 روی بازوی کوتاه کروموزوم ۲H با توجیه ۴ درصد از کل واریانس فنتوتیپی مرتبط با این صفت شناسایی کردند.

پیغمبری و همکاران (۲۱) به منظور مکانیابی صفات زراعی در جمعیت دابلد هاپلولید جو دو QTL برای روز تا رسیدگی، دو QTL برای طول سنبله، یک QTL برای تعداد دانه در سنبله، سه QTL برای وزن هزار دانه و یک QTL برای عملکرد دانه ردیابی کردند. در تحقیق دیگری در یک جمعیت $F_{2:3}$ جو جهت شناسایی نواحی ژنومی (QTL) کنترل کننده عملکرد و اجزای آن از طریق نشانگر-های ریز ماهواره دو qTW-6b و qTW-6a (QTL) برای کنترل وزن هزار دانه شناسایی شد هر دو ناحیه ژنومی بر روی کروموزوم 6H قرار داشت. همچنین برای صفت تعداد دانه در سنبله چهار ناحیه ژنومی بر روی کروموزومهای 1H، 3H و 7H توانستند بیش از ۶۲ درصد از تغییرات ژنتیکی این صفت را توجیه نمایند. مهم‌ترین QTL بر روی کروموزوم 1H قرار داشت که به تنهایی

از اسکورهای ۱ (برای وجود باند) و ۲ (برای عدم وجود باند) در نشانگرهای ریزماهواره استفاده شد. در مورد نشانگرهای ISSR از اسکورهای ۱ (برای وجود باند) و ۳ (برای عدم وجود باند) در موقوعی که باند در والد اول تکثیر یافته بود، استفاده شد. همچنین در مورد نشانگرهای ISSR از اسکورهای ۲ (برای وجود باند) و ۴ (برای عدم وجود باند) در موقوعی که باند در والد دوم تکثیر یافته بود استفاده شد. خاطر نشان می‌شود که برچسب زدن نشانگرهای تصادفی به نشانگرهای ریزماهواره برای هر کروموزوم جداگانه انجام شد. بنابراین با استفاده از نرم‌افزار QT-X17 Map manager (۱۶) تجزیه‌های دو نقطه‌ای، سه نقطه‌ای و نهایتاً چند نقطه‌ای برای هر کروموزوم و با حد بحرانی برای $LOD=2$ ، فاصله و ترتیب بین نشانگرها براساس تابع کوزامبی (۱۴) در هر کروموزوم مشخص شد. به‌منظور شناسایی QTL‌های کنترل‌کننده صفات مورد مطالعه از روش مکان‌یابی فاصله‌ای مرکب و نرم‌افزار 2.5 Win QTL Cartographer (۸) استفاده گردید. map Chart ها از نرم افزار QTL برای ترسیم نقشه و محل استفاده شد. محاسبه همبستگی صفات با استفاده از نرم‌افزار 23 SPSS (۱۳) انجام شد.

نتایج و بحث

همبستگی‌های ساده فنوتیپی 10^3 خانواده F_3 و F_4 به همراه والدین برای صفات مورد مطالعه در جدول ۲ نشان داده شده است. در سال اول بیشترین همبستگی به صفات تعداد سنبله و وزن کل سنبله (0.74^{**}) و پس از آن به صفات تعداد سنبله در سنبله و طول سنبله (0.69^{**}) تعلق داشت. تعداد سنبله در هر دو سال با طول سنبله همبستگی مثبت و معنی‌دار داشت. همبستگی‌های بالای تعداد سنبله با طول سنبله ممکن است ناشی از هم‌مکانی QTL‌های کنترل‌کننده آنها باشد.

خطوط یک متری با فاصله بین ردیف ۲۰ سانتی‌متر کشت شد. تهیه زمین و عملیات کاشت بر اساس عرف اجرای آزمایش‌های غلات انجام شد. برای ارزیابی فنوتیپی، صفات تعداد کل سنبله (مترمربع)، وزن کل سنبله (گرم)، تعداد دانه در سنبله، تعداد سنبله‌چه در سنبله، طول سنبله (سانتی‌متر) و طول ریشک (سانتی‌متر) در 10^3 خانواده F_3 و F_4 و ۲۰ بوته از هر خانواده در سه تکرار اندازه‌گیری شد و میانگین هر خانواده برای تجزیه QTL مورد استفاده قرار گرفت. جهت ارزیابی ژنوتیپهای والدینی برای شناسایی نشانگرهای چند شکل و همچنین غربال مولکولی جمعیت، استخراج DNA از نمونه‌های برگ والدینی و گیاهچه‌های F_3 که از قبل در دمای -80°C درجه سانتی‌گراد نگهداری شده بودند، با استفاده از روش CTAB سقای معروف و همکاران (۲۶) انجام شد. کمیت و کیفیت DNA نمونه‌ها با استفاده از روش الکتروفورز DNA روی ژل آگارز 0.8% درصد بررسی شد. کلیه ارزیابی‌های ژنوتیپی مربوطه در آزمایشگاه ژنتیک دانشکده کشاورزی دانشگاه گنبد کاووس انجام شد. به‌منظور تهیه نقشه ژنتیکی و شناسایی QTL کنترل کننده صفات مورد مطالعه، ISSR و ۲۹ نشانگر SSR بر روی والدین مورد ارزیابی قرار گرفتند و نشانگرهای چند شکل بین والدین برای ثبت داده‌های ژنوتیپی افراد جمعیت مورد استفاده قرار گرفتند. از بین ۲۹ نشانگر SSR، از ۷ نشانگر چند شکل (به ازای هر کروموزوم یک نشانگر) و از ۶۰ آلل چند شکل ISSR برای تهیه نقشه استفاده شد. توالی آغازگرهای چند شکل SSR و ISSR در جدول ۱ ارائه شده است. واکنش زنجیره‌ای PCR (Applied PCR) در دستگاه ترموسایکلر Biosystems- 2720، USA انجام شد. برنامه حرارتی دوره‌های زمانی واکنش زنجیره‌ای پلی‌مراز به منظور کاهش تکثیر نوارهای الکتروفورز اضافی و تکثیر اختصاصی، با توجه به دمای اتصال آغازگرها، طی برنامه کاهش دمایی (Touch down PCR) انجام شد. جهت تهیه نقشه ژنتیکی

جدول ۱- نشانگرهای SSR و ISSR چندشکل مورد استفاده در تهیه نقشه پیوستگی جمعیت‌های F₃ و F₄ جو حاصل از تلاقی ارقام بادیا و کویر.

چند شکلی	توالی مستقیم / توالی معکوس	کروموزوم	نشانگر
(پلی‌مورف)	CTCCACGAATCTCTGCACAA/CACCGCCTCCTTTCAC	۱	HVM20
(پلی‌مورف)	TCCAGCCGAAACAATTCTTG/AGTACTCCCACACCACGTCC	۲	HVM36
(پلی‌مورف)	GGTCGGTCCCGGTAGTG/TCCTGATCCAGAGGCCACC	۳	HVM27
(پلی‌مورف)	GTCGGGCTCCATTGCTCT/CCGGTACCCAGTGACGAC	۴	HVM67
(پلی‌مورف)	AGTGGGGAATGAGAGAATGG/TGCTTGTGGGGCATCACAC	۵	HVM30
(پلی‌مورف)	AGACATCCAAAAATGAACCA/TGGTAACTTGCCCCCAAAG	۶	HVM65
(پلی‌مورف)	AGAGCAACTACCAGTCCAATGGCA/GTCGAAGGAGAACGGCCCTGGTA	۷	HVM4
(منومورف)	CTCTATAGGCACGAAAATTCC/TTGCACATATCTCTGTACA	۷	HVM49
(منومورف)	ATATTAAAAAAGGTGAAAGGCC/CACGCCCTCTCCCTAGAT	۳	HVM33
(منومورف)	ATTGGCGTGACCGATATTATGTTCA/CAAAACTGCAGCTAACAGGGAAACA	۲	HVBKASI
(منومورف)	AGGACCGGATGTTCATACG/CAAATCTCCAGCGAGGCT	۴	HVM68
(منومورف)	TTAGGGCTACGGTTCAGATGTT/ACGTTGTTCTCGCTGCTG	۵	HVDHN7
(منومورف)	AACGACGTGCCACACAC/AGGAACGAAGGGAGTATTAAGCAG	۷	HVM5
(منومورف)	CAATGATGCGGTGAACTTG/CCTCGGATCTATGGTCCTT	۳	HVM60
(منومورف)	CCGCCGATGACCTTCTC/ACCCACGACCTATGGCAC	۱	HVM70
(منومورف)	AGGAAGTCATTGCGTGAG/TGATCAAGAATGATAACATGG	۶	HVM74
(منومورف)	TTGGAAGTGTACAGCAATGGAG/TGAAAGGCCCCACAAGATAG	۵	HVLEU
(منومورف)	TCTAAATTACCTTCCCAGCCA/AAACGACAGATGTAGGAGGTCA	۷	HVM51
(منومورف)	GGATTCTCAAGAACACTT/GCGTGAGTGATAACATT	۱	HVM43
(منومورف)	CGGTTCTGGTTGCTTGG/CGAAGGTCTCAGGCTCATG	۶	HVM31
(منومورف)	CTTCGACACCACATCACCAG/ACCAAAATCGCATCGAACAT	۳	HVM9
(منومورف)	CATGGACAAGATCAAGGAGAAG/CCCATTATTATCTGTAGGAACGC	۵	HVDHN9
(منومورف)	CATGAATGAATGATTGGTTTG/CGCATCCGTATGTATGAGTAA	۵	HVM6
(منومورف)	AGTAGCTATGTGTTGGATCGC/CATCAAGGCATCCTCATG	۶	HVM13
(منومورف)	ATGTAGCGGAAAAAATACCATCAT/CCTAGCTAGTCGTGAGCTACCTC	۷	HVM7
(منومورف)	CGCGCAAGCATGAATACTC/ACTCACAAGTGGCGCGTAC	۱	HVM63
(منومورف)	GATGTGAAGGCTGCCCTG/ACACGCCATTACCCAGTG	۱	HVM64
(منومورف)	CGATCAAGGACATTGGTAAT/AACCTTCGGTTCAACCAATA	۶	HVM14
(منومورف)	AACCCAGTAACACCGCCTG/AGTCCCTGACCCGATGTC	۲	HVM54
(۶ باند پلی‌مورف)	GAGAGAGAGAGAGAGAA	-	ISSR131
(۸ باند پلی‌مورف)	CTCTCTCTCTCTCTG	-	ISSR16
(۴ باند پلی‌مورف)	CTCTCTCTCTCTCT	-	ISSR20
(۷ باند پلی‌مورف)	CTCTCTCTCTCTCTT	-	ISSR22
(۷ باند پلی‌مورف)	TCTCTCTCTCTCTCA	-	ISSR29
(۷ باند پلی‌مورف)	GAGGAGAGAGAGAGAG	-	ISSR30
(۵ باند پلی‌مورف)	GAGAGAGAGAGAGAGA	-	ISSR31
(۷ باند پلی‌مورف)	GGAAGGAAGGAAGGAAGGAAT	-	ISSR38
(۸ باند پلی‌مورف)	CTCCTCCTCCTCCTCG	-	ISSR47
(۶ باند پلی‌مورف)	ACACACACACACACACACTA	-	ISSR48

میکولوچک و همکاران (۱۸) به منظور مکان‌یابی جایگاه صفات کمی برای عملکرد دانه و صفات مرتبط با آن در جمعیت جو بهاره حاصل از تلاقی ارقام اروپایی و سوریه-ای در طول سه سال زراعی ۸۹ QTL شناسایی کردند. ۱۲ QTL برای تعداد دانه در سنبله اصلی مکان‌یابی شد همه QTL‌های شناسایی شده برای تعداد دانه در سنبله در کروموزوم ۲H و ۶H و ۷H دارای اثرات منفی بر تعداد دانه در سنبله داشتند.

برای تعداد کل سنبله (جدول ۲) نیز یک QTL با توجیه ۱۰/۵ درصد از واریانس فتوتیپی این صفت در فاصله نشانگرهای ISSR38-1 و ISSR20-1 در کروموزوم ۴ شناسایی شد این مکان با نقش کاهنده آلل والد بادیا در کترل تعداد کل سنبله سهیم بود. رن و همکاران (۲۴) به منظور مکان‌یابی QTL‌های کترل‌کننده صفات زراعی و کیفیت صفات در ۱۲۲ جمعیت دابلد هاپلوبید جو حاصل از تلاقی ۶ Huaai \times ۱۱ Huadamae با استفاده از ۱۶ نشانگر ریز ماهواره در طول سه سال زراعی با استفاده از مکان‌یابی فاصله‌ای مرکب ۱۷ QTL شناسایی نمودند. در سال دوم یک QTL برای تعداد سنبله شناسایی کردند که این QTL در کروموزوم ۷ با QTL تعداد سنبله در کروموزوم ۴ در برگیرنده QTL‌های کترل‌کننده کلیه صفات مورد مطالعه بود. نتایج حاصل از مکان‌یابی فاصله‌ای مرکب برای تعداد دانه در سنبله حاکی از تظاهر یک QTL واقع بر کروموزوم ۴ پیوسته به نشانگر ISSR36-1 با توجیه ۱۲/۹ درصد از کل واریانس فتوتیپی و نقش افزاینده آلل‌های والد بادیا در کترل این صفت شناسایی شد. میزان LOD برای این QTL برابر ۲/۴۹ بود (جدول ۲).

جدول ۲- ضرایب همبستگی بین صفات مورد مطالعه در جمعیت F₃ و F₄ حاصل از تلاقی ارقام بادیا و کویر.

صفت	تعداد کل سنبله	وزن کل سنبله	تعداد دانه در سنبله	تعداد سنبله در سنبله	طول سنبله	تعداد دانه در سنبله	طول ریشک
تعداد کل سنبله	-۰/۰۶	-۰/۱۸	-۰/۰۶	-۰/۰۴	-۰/۰۴	-۰/۰۴	-۰/۰۶
وزن کل سنبله	-۰/۰۸	-۰/۱۹*	-۰/۲۰*	-۰/۱۰	-۰/۱۰	-۰/۱۰	-۰/۰۸
تعداد دانه در سنبله	-۰/۳۰**	-۰/۴۶**	-۰/۴۹**	-۰/۳۹**	-۰/۳۹**	-۰/۰۳	-۰/۰۳
تعداد سنبله در سنبله	-۰/۲۷**	-۰/۶۹**	-۰/۸۹**	-۰/۹۶**	-۰/۹۶**	-۰/۰۳	-۰/۰۳
طول سنبله	-۰/۰۹	-۰/۰۲	-۰/۰۰۵	-۰/۰۰۵	-۰/۰۰۵	-۰/۰۳	-۰/۱۷
طول ریشک	-۰/۰۹	-۰/۰۲	-۰/۰۰۵	-۰/۰۰۵	-۰/۰۰۵	-۰/۰۳	-۰/۰۹

***: به ترتیب نشان‌دهنده معنی‌دار بودن در سطح احتمال یک و پنج درصد می‌باشد.

اعداد بالای قطر جدول ضریب همبستگی برای جمعیت F₃ و پایین قطر جدول ضریب همبستگی برای جمعیت F₄ است.

جدول ۳- های صفات مورد مطالعه در جمعیت‌های F₃ و F₄ حاصل از تلاقی ارقام بادیا و کویر.

جهت	ضریب آلل	اثر افزایشی تبیین	موقعیت (سانتی‌مورگان)	LOD	کروموزوم	نشانگرهای مجاور*	QTL	صفت
سال ۱۳۹۳								
بادیا	۱۰/۵	-۱۷۹/۷۴	۷۰	۲/۴۹	۴	<u>ISSR20-1</u> -ISSR38-1	qNS-4	تعداد کل سنبله
بادیا	۱۲/۹	۱۷۵/۳۱	۰	۳/۰۸	۴	ISSR36-1	qNGS-4 _a	تعداد دانه در سنبله
کویر	۱۹/۹	۹/۵۰	۴۲	۴/۹۷	۳	<u>ISSR131-3</u> -ISSR47-8	qAL-3 _a	طول ریشک
بادیا	۱۵	۱/۰۱	۶۸	۳/۶۲	۳	<u>ISSR29-7</u> -ISSR31-5	qAL-3 _b	
سال ۱۳۹۴								
بادیا	۳۱	۶/۳۸	۰	۸/۴۰	۴	ISSR31-6	qSW-4 _a	وزن کل سنبله
کویر	۱۲	-۳/۵۱	۶۸	۳/۰۷	۴	ISSR20-1	qSW-4 _b	
کویر	۱۰	-۶/۱۹	۱۰۰	۲/۴۷	۴	<u>ISSR38-3</u> -ISSR131-1	qSW-4 _c	
بادیا	۲۱/۱	۶/۳۷	۱۳۶	۵/۳۰	۴	<u>ISSR131-1</u> -ISSR16-4	qSW-4 _d	
کویر	۳۴	-۲۱/۲۲	۲	۹/۵۹	۱	<u>ISSR16-5</u> -ISSR29-3	qNGS-1	تعداد دانه در سنبله
بادیا	۱۳	۱۰/۵۷	۶۸	۳/۲۴	۴	ISSR20-1	qNGS-4 _b	
کویر	۲۵	-۲۰/۴۲	۱۳۶	۶/۵۰	۴	<u>ISSR131-1</u> -ISSR16-4	qNGS-4 _c	
کویر	۳۱/۳	-۳۵/۹۰	۲	۸/۳۸	۴	<u>ISSR36-1</u> -ISSR16-8	qNSS-4 _a	تعداد سنبلچه در سنبله
کویر	۱۱/۵	-۱۵/۸۰	۳۴	۲/۷۳	۴	<u>ISSR22-5</u> -ISSR47-5	qNSS-4 _b	
بادیا	۱۳	۱۸/۵۴	۶۸	۳/۱۱	۴	ISSR20-1	qNSS-4 _c	
کویر	۲۰/۶	-۳۲/۹۴	۱۳۶	۵/۱۴	۴	<u>ISSR131-1</u> -ISSR16-4	qNSS-4 _d	
بادیا	۳۱	-۲۵/۵۰	۲	۸/۳۲	۴	<u>ISSR36-1</u> -ISSR16-8	qSL-4 _a	طول سنبله
بادیا	۱۰	-۱۰/۵۸	۳۴	۲/۴	۴	<u>ISSR22-5</u> -ISSR47-5	qSL-4 _b	
بادیا	۲۰	-۲۳/۰۹	۱۳۶	۵/۲۱	۴	<u>ISSR131-1</u> -ISSR16-4	qSL-4 _c	
بادیا	۱۲	-۶/۸	۲	۷/۹۵	۴	<u>ISSR36-1</u> -ISSR16-8	qAL-4	طول ریشک

*: نشانگرهایی که زیرشان خط کشیده شده به QTL مربوطه نزدیکتر هستند.

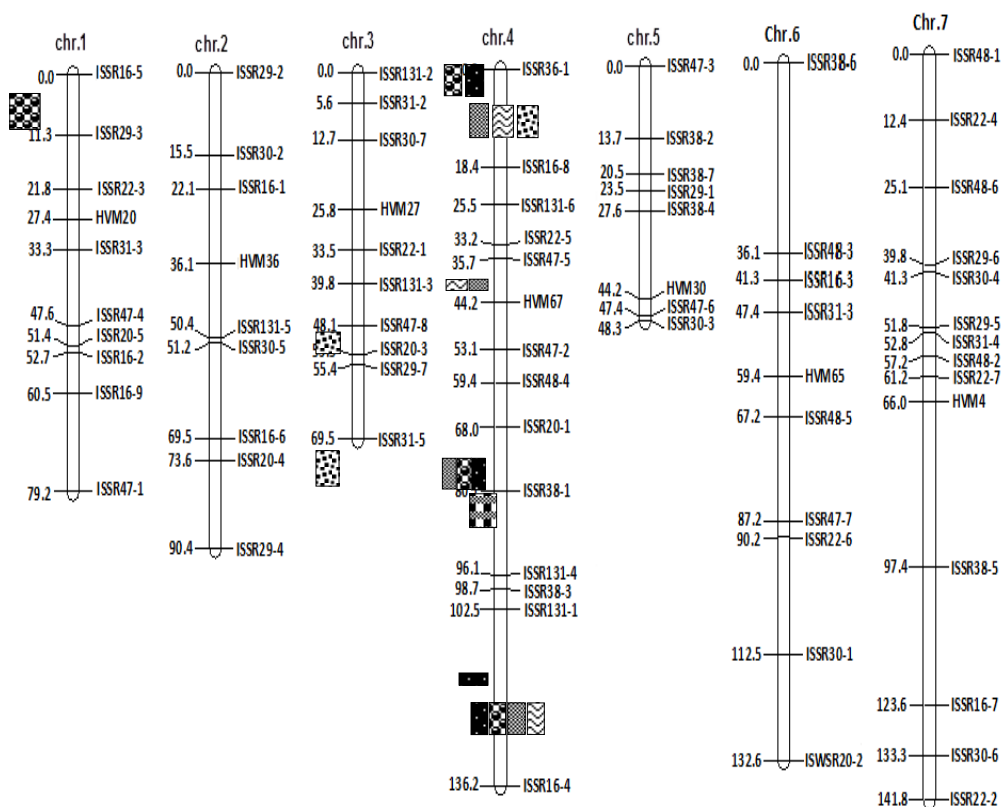
۲/۴۰ - ۹/۵۹ قرار داشت. بیشترین و کمترین LOD به ترتیب مربوط به QTL‌های تعداد دانه در سنبله و طول سنبله در سال دوم بود. در سال دوم سه QTL برای طول سنبله (qSL-4_b, qSL-4_c و qSL-4_a) بر روی کروموزوم ۴ به ترتیب در جایگاه‌های ۲، ۳۴ و ۱۳۶ سانتی‌مورگان شناسایی شد که در مجموع ۶۰ درصد از واریانس فتوتیپی این صفت را توجیه کردند. نزدیکترین نشانگرها به این QTL‌ها به ترتیب ISSR36-1, ISSR22-5, ISSR131-1 و ISSR131-5 بود و دارای اثر افزایشی -۲۵/۵۰، -۱۰/۵۸ و -۲۳/۰۹ بودند. وانگ و همکاران (۳۲) به منظور شناسایی و نقشه-یابی ژن کوتولگی در ۹۲ لاین دابلد هاپلویید جو و همبستگی آن با صفات زراعی دو QTL برای طول سنبله،

برای صفت طول ریشک دو QTL (qAL-3_b و qAL-3_a) بر روی کروموزوم ۳ شناسایی شد. مکانهای ثانی افزاینده طول ریشک در هر دو والد وجود دارد. مجموع QTL‌های موجود در سال اول به ترتیب ۱۹/۹ و ۱۵ درصد از تغییرات فتوتیپی صفت طول ریشک را توجیه نمودند.

شناسایی QTL‌های صفات مورد بررسی در سال دوم: برای صفات بررسی شده در مجموع ۱۹ جایگاه واجد QTL (۴ جایگاه در سال اول و ۱۵ جایگاه در سال دوم) به دست آمد. واریانس فتوتیپی توجیه شده به وسیله این QTL‌ها از ۱۰-۳۴ درصد متغیر بود. بیشترین و کمترین واریانس فتوتیپی به ترتیب برای تعداد دانه در سنبله و وزن طول سنبله در سال دوم به دست آمد. LOD در دامنه

سنبله در کروموزومهای ۲، ۷ و ۷ مکان‌یابی کردند که به ترتیب، ۱۸/۷۰، ۳/۰۷ و ۵۲/۷۲ درصد از واریانس فنوتیپی صفت مربوطه را کنترل کرد و یک QTL برای تعداد سنبله در کروموزوم ۵ و شش QTL برای تعداد سنبلچه در سنبله شناسایی کردند.

یک QTL برای تعداد دانه و یک QTL برای طول ریشک در کروموزوم ۳H شناسایی کردند که ۷۰ تا ۸۱ درصد از واریانس فنوتیپی صفت مربوطه را کنترل می‌کرد. وانگ و همکاران (۳۱) به منظور مکان‌یابی صفات زراعی در جو توسعه نشانگرهای SNP و SSR برای طول



شکل ۱- نقشه ژنتیکی استفاده شده جهت مکان‌یابی QTL‌های مرتبط با صفات سنبله در جمعیت‌های F_3 و F_4 حاصل از تلاقی ارقام بادیا × کویر.



واقع بر روی کروموزوم ۱ (در فاصله نشانگرهای ISSR16-5 و -3 ISSR29-1) با LOD معادل ۹/۵۹ مکان‌یابی شد که ۳۴ درصد از واریانس فنوتیپی صفت را توصیف

نها QTL شناسایی شده روی کروموزوم ۱، صفت تعداد دانه در سنبله را کنترل می‌کند برای تعداد دانه در سنبله سه QTL شناسایی شد. بیشترین اثر مربوطه در سال دوم QTL

چایگاههای صفر، ۶۸، ۱۰۰ و ۱۳۶ سانتی‌مترگان شناسایی شد. میزان واریانس فنوتیپی توجیه شده با این QTL‌ها به ترتیب ۳۱، ۱۲، ۱۰ و ۲۱/۱ درصد بود و به ترتیب دارای اثر افزایشی ۶/۳۸، ۳/۵۱، ۶/۱۹ و ۶/۳۷ داشتند. دو QTL (qSW-4_a و qSW-4_b) به ترتیب با نشانگرهای ISSR31-6 و ISSR20-1 پیوستگی داشتند و دو ISSR38-3 (qSW-4_c و qSW-4_d) در مجاورت نشانگرهای ISSR131-1 قرار داشتند. نرجسی و همکاران (۱۹) به منظور شناسایی QTL‌های کنترل‌کننده صفات زراعی، عملکرد و اجزای عملکرد ۱۷۹ جمعیت اینبرد لاین نوترکیب (RIL) گندم حاصل از تلاقی Attila/Kauz × Karchia در ۱۰ محیط (۵ محیط شور و ۵ محیط نرمال) با استفاده از ۱۰ نشانگر ریز ماهواره (SSR) و ۱۰ نشانگر (DARt) دو QTL برای وزن سنبله در کروموزومهای ۲A و ۶B شناسایی کردند که به ترتیب ۱۲/۴ و ۶/۵ درصد از واریانس فنوتیپی صفت مربوط را توجیه نمود.

برای صفت طول ریشک در سال دوم یک QTL بر روی کروموزوم ۴ شناسایی شد. والد بادیا باعث افزایش طول ریشک شد. QTL موجود در سال دوم ۱۲ درصد از تغییرات فنوتیپی صفت طول ریشک را توجیه نمود. سامری و همکاران (۲۷) به منظور مکان‌یابی QTL‌های کنترل‌کننده صفات زراعی در ۹۹ اینبرد لاین خالص جو Kanto Nakate و Azumamugi زراعی حاصل از تلاقی Gold در طول دو سال زراعی شش QTL برای طول ریشک شناسایی کردند که یکی از این QTL‌ها بر روی کروموزوم ۳H قرار داشت که ۷۶ درصد از واریانس فنوتیپی صفت مربوطه را توجیه کرد.

چنانچه مبنای توصیف یک QTL به عنوان یک QTL بزرگ اثر را توجیه بیش از ۱۰ درصد واریانس فنوتیپی صفت مربوطه در نظر گرفته شود (۲۳)، از بین ۱۹ QTL که در سال اول و دوم شناسایی شدند ۱۷ QTL مربوط به صفات موردبررسی از نوع بزرگ اثر بودند. میزان ضریب

کرد، آلل والد کویر باعث افزایش تعداد دانه در سنبله شده است. در حالی که دو QTL دیگر روی کروموزوم ۴ (qNGS-4_b) پیوسته به نشانگر-1 (ISSR20-1) و (qNGS-4_a) در فاصله نشانگرهای ISSR131-1 و ISSR16-4 (ISSR16-4) شناسایی شد که به ترتیب ۱۳ و ۲۵ درصد از واریانس فنوتیپی صفت را کنترل کردند. مهدی‌نژاد و همکاران (۶) به منظور نقشه‌یابی QTL‌های کنترل کننده صفات فنولوژیک و مورفولوژیک ۱۶۷ لاین اینبرد نوترکیب حاصل از تلاقی Babax و Seri M82 بر روی کروموزوم 6B شناسایی کردند که ۷ درصد از واریانس فنوتیپی صفت مربوطه را کنترل می‌کرد و با عملکرد بیولوژیک همکان بود. مرضا و همکاران (۱۷) به منظور مکان‌یابی عملکرد و صفات مرتبط با آن در جمعیت اینبرد لاین حاصل از تلاقی Ning7840 × Clark از ۳۶۳ نشانگر AFLP و ۴۷ نشانگر SSR تعداد هشت QTL برای تعداد دانه در سنبله بر روی کروموزومهای ۱A، ۱B و ۴B شناسایی کردند.

با استفاده از روش مکان‌یابی فاصله‌ای مرکب چهار QTL (qNSS-4_a, qNSS-4_b, qNSS-4_c, qNSS-4_d) برای تعداد سنبله در سنبله در سال دوم در کروموزوم ۴ مکان‌یابی شدند و نزدیک‌ترین نشانگرها به این QTL‌ها به ترتیب نشانگرهای ISSR20-1, ISSR22-5, ISSR36-1 و ISSR131-1 بودند که چهار QTL در مجموع ۷۵ درصد از تغییرات فنوتیپی صفت را تبیین کردند. لی و همکاران (۱۵) مکان‌یابی QTL‌های کنترل کننده عملکرد و اجزای عملکرد را در جمعیت جو بهاره با استفاده از ۶۰ نشانگر ریز ماهواره انجام دادند آنها سه QTL برای تعداد سنبله در سنبله شناسایی کردند که این QTL‌ها ۷/۵ تا ۳۶/۸ درصد از واریانس فنوتیپی صفت مربوطه را با ۱/۲۴ LOD تا ۸/۰۸ توجیه کردند.

برای وزن کل سنبله در سال دوم چهار QTL (qSW-4_a, qSW-4_b, qSW-4_c و qSW-4_d) روی کروموزوم ۴ در

سنبلچه در سنبله و طول سنبله بود. و بین نشانگرهای ISSR36-1 و ISSR16-8، QTL‌هایی برای طول ریشک، طول سنبله و تعداد سنبلچه در سنبله قرار داشتند. در ناحیه بین نشانگرهای ISSR22-5 و ISSR47-5، QTL‌هایی تعداد سنبلچه در سنبله و طول سنبله شناسایی شدند. وزن کل سنبله و تعداد دانه در سنبله پیوسته به نشانگر ISSR36-1 در کروموزوم ۴ و QTL‌هایی تعداد دانه در سنبله، وزن کل سنبله و تعداد سنبلچه در سنبله پیوسته به نشانگر ISSR20-1 در کروموزوم ۴ مکان‌یابی شدند.

نتیجه‌گیری

شناسایی QTL‌هایی با اثرهای افزایشی مثبت و منفی، بیانگر انتقال آلل‌های مطلوب در این جایگاهها از هر دو والد به نتاج بود که والدین حاضر می‌توانند در برنامه‌های اصلاح جو استفاده شوند. برخی از QTL‌های شناسایی با تبیین درصد بالاتری از تغییرات فتوتیپی صفات مورد مطالعه به عنوان QTL بزرگ اثر شناخته شدند که نشانگرهای پیوسته با این QTL‌ها می‌توانند در برنامه‌های اصلاح به کمک نشانگر جهت گرینش خانواده‌های برتر و انتقال آلل‌های مطلوب استفاده گردند.

تبیین یا واریانس فتوتیپی توجیه شده به وسیله QTL‌ها از ۱۰/۵ تا ۱۵٪ متغیر بود. پایین بودن میزان ضربیت تبیین برای بعضی از QTL‌ها نشان می‌دهد که احتمالاً QTL‌های انفرادی دیگری برای این صفات وجود دارند که با توجه به اثر کم هر یک از این QTL‌ها شناسایی نشده‌اند (۲۵٪).

QTL‌های مشترک برای صفات مورد مطالعه در سال اول و دوم: جایگاه کروموزومی QTL‌های مکان‌یابی شده برای صفات مورد مطالعه در شکل ۱ ارائه شده است. برخی از QTL‌های مذکور دارای اثرات پلیوتروپیک بوده و در چندین صفت تکرار شدند. یک QTL در سال اول و دوم برای صفات وزن کل سنبله و تعداد دانه در سنبله مشترک بود. QTL مشترک پیوسته با نشانگر ۶-ISSR31 کروموزوم چهارم، به ترتیب ۱۲/۹ و ۰/۳۱ درصد از تغییرات فتوتیپی صفات تعداد دانه در سنبله و وزن کل سنبله را توجیه کرد اثر افزایشی آللها نشان داد که آلل‌های افزاینده هر دو صفت در والد بادیا قرار داشت.

جایگاه کروموزومی QTL‌ها نشان داد از QTL شناسایی شده در سال اول و دوم، برخی دارای مکان کروموزومی مشترک بودند. این موضوع احتمالاً به دلیل پیوستگی ژنتیکی و یا اثر پلیوتروپیک ژنی است. ناحیه بین نشانگرهای ISSR131-1 و ISSR16-4 در کروموزوم ۴ حامل QTL‌های وزن کل سنبله، تعداد دانه در سنبله، تعداد

منابع

- ۱- احمدی، ج.، فتوکیان، م.ج.، و فابریکی، ص. (۱۳۸۷). مطالعه پیوستگی بین نشانگرهای ریز ماهواره (SSR) و QTL‌های اجزای عملکرد در برنج (*Oriza sativa*). مجله ژنتیک نوین. شماره ۴، دوره ۳، ص ۴۵-۵۵.
- ۲- بیگی، ا.، عباسپور، ن.، و مظفری، ج. (۱۳۹۲). بررسی تنوع و راثتی ارقام زراعی و گونه‌های خودروی جنس Crocus با استفاده از نشانگر ISSR در ایران. مجله پژوهش‌های سلولی و مولکولی (مجله زیست‌شناسی ایران): جلد ۲۶(۲): ۱۷۳-۱۶۴.
- ۳- رحیمی، م.، پور فرشاد، الف.، و عشقی، ر. (۱۳۹۱). تعیین نحوه توارث و مکان‌یابی ژنهای کنترل کننده صفات زراعی در جو،
- ۴- شاهین‌نیا، ف.، رضایی، ع.م.، و سید طباطبایی، ب.الف. (۱۳۹۳). مکان یابی ژنی کنترل کننده صفات کمی (QTL) عملکرد و اجزاء عملکرد در لاین‌های جو، مجله بهنژادی نهال و بذر. جلد ۱-۳۰ شماره ۱، ص ۸۵-۱۰۱.
- ۵- قربانزاده نقاب، م.، و افضل، ر. (۱۳۹۴). ارزیابی تنوع ژنتیکی توده‌های ایرانی و ژنتیپ‌های خارجی گلنگ (*Carthamus tinctorius*) با استفاده از صفات مورفوژیکی و نشانگر

ی اینبرد نوترکیب گندم حاصل از تلاقی seri M82 و Babax تحت تنفس شوری. مجله ژنتیک نوین. شماره ۲، دوره ۹، ص ۲۰۷-۲۱۸.

- 7- Aastveit, A.H., Aastveit, K., (1993). Effects of genotype - environment interactions on genetic correlation. *Journal of Theoretical and Applied Genetics*, 86(8):1007-1013.
- 8- Basten, C.J., Weir, B.S., Zeng, Z.B., (1997). QTL Cartographer: A reference manual and tutorial for QTL mapping: North Carolina state university, USA. P. 163.
- 9- Bezan, J., Laurie, D., Pratchett, N., Chojecki, J., Kearsey, M.J., (1997). Mapping QTLs controlling yield and yield components in a spring barley (*Hordeum vulgare L.*) cross using marker regression. *Journal of Molecular Breeding* 3(1): 29-38.
- 10- Chen, G.D., Li, H.B., Zheng, Z., Wei, Y.M., Zheng, Y.L., McIntyre, Zhou, MX., Liu, CJ., (2012). Characterization of a QTL affecting spike morphology on the long arm of chromosome 3H in barley (*Hordeum vulgare L.*) based on near isogenic lines and a NIL-derived population. *Journal of Theoretical and applied genetics*, 125(7):1385-1392.
- 11- Doerge, R.W., (2002). Mapping and analysis of quantitative trait loci in experimental populations. *Journal of Genetics* 3(1):43-52.
- 12- Högy, P., Poll, C., Marhan, S., Kandeler, E., Fangmeier, A., (2013). Impacts of temperature increase and change in precipitation pattern on crop yield and yield quality of barley. *Food Chemistry*, 136(3): 1470-1477.
- 13- IBM Corp. Released (2013). IBM SPSS Statistics for Windows, Version 23.0 Armonk, NY: IBM Corp.
- 14- Kosambi, D.D., (1944). The estimation of map distances from recombination values. *Annals of Eugenics*, 12: 172-175.
- 15- Li, J.Z., Huang, X.Q., Heinrichs, F., Ganal, M.W., Röder, M.S., (2005). Analysis of QTLs for yield, yield components, and malting quality in a BC3-DH population of spring barley. *Journal of Theoretical and Applied Genetics*, 110(2): 356-363.
- 16- Manly, K.F., Olson, J.M., (1999). Overview of QTL mapping software and introduction to Map Manager QTL. *Mammalian Genom* 10(4): 327-334.
- 17- Marza, F., Bai, GH., Carver, BF., Zhou, WC., Clark. (2006). Quantitative trait loci for yield and related traits in the wheat population Ning7840. *Journal of Theoretical Applied Genetics* 112(4): 688-698.
- 18- Mikołajczak, K., Ogrodniewicz, P., Gudyś, K., Krystkowiak, K., Sawikowska, A., Frohmberg, W. Górný, A., Kędziora, A., Jankowiak, J., Józefczyk, D., Karg, G., (2016). Quantitative Trait Loci for Yield and Yield-Related Traits in Spring Barley Populations Derived from Crosses between European and Syrian Cultivars. *PloS one*, 11(5): 1-26.
- 19- Narjesi, v., Mardi, m., MajidiHervan, E., Azadi, A., Naghavi, M.R., Ebrahimi, M., Zali, A.A., (2015). Analysis of Quantitative Trait Loci (QTL) for GrainYield and Agronomic Traits in Wheat (*Triticum aestivum L.*) Under Normal and Salt-Stress Conditions. *Journal of Plant Molecular Biology*, 33(6): 2030-2040.
- 20- Paterson, A.H., Lander, E.S., Hewitt, J.D., Paterson, S., Lincoln, S.E., Tanksley, S.D., (1988). Resolution of quantitative traits into Mendelian factors by using a complete RFLP linkage map. *Nature* 335(6192): 721–726.
- 21- Peighambari, S.A., Yazdi Samadi, B., Nabipour, A., Charmet, G., Sarrafi, A., (2005). QTL analysis for agronomic traits in barley doubled haploids population grown in Iran. *Journal of Plant Science*, 169(6): 1008-1013.
- 22- Rafalski, J.A., Morgante, M., Powell, W., Vogel, J.M., Tingey, S.V., (1996). Generating and using DNA markers in plants. In: *Analysis of Non-mammalian Genomes: a practical guide* (Birren, B. and Lai, E., Eds) pp. 75-134, Academic Press, Boca Raton, Florida, USA.
- 23- Reif, J.C., Wenxin, L., Manje, G., Hans, P.M., Jens, M., Sandra, F., Axel S., Tobias, W., (2010). Genetic basis of agronomically important traits in sugar beet (*Beta vulgaris L.*) investigated with joint linkage association mapping. *Journal of Theoretical and Applied Genetics*, 121(8):1489–1499.
- 24- Ren, X., Sun, D., Sun, G., Li, C., Dong, W., (2013). Molecular detection of QTL for agronomic and quality traits in a doubled

- haploid barley population. *Australian Journal of Crop Science*, 7(6): 878.
- 25- Rezaiezad, A., Mohammadi, V., Zali, A., Zeinali, H., Mardi, M., (2011). Mapping QTLs controlling yield and yield components of oilseed rape under normal irrigation and drought stress conditions. *Journal of Seed and Plant Improvement* 27(2): 199-218.
- 26- Saghi Maroof, M.A., Biyashev, R.M., Yang, G.P., Zhang, Q and Allard, R.W. (1994). Extraordinarily polymorphic microsatellites DNA in barely species diversity, chromosomal location, and population dynamics. *Proceedings of the National Academy of Sciences U.S.A*, 91(12): 5466-5570.
- 27- Sameri, M., Takeda, K., Komatsuda, T., (2006). Quantitative trait loci controlling agronomic traits in recombinant inbred lines from a cross of oriental-and occidental-type barley cultivars. *Breeding Science*, 56(3): 243-252.
- 28- United States Department of Agriculture (USDA). Circular Series WAP 11-11 November 2011. World Agricultural Production. Foreign Agricultural Service.
- 29- Veldboom, L.R., Lee, M., and Woodman, W.L., (1994). Molecular marker-facilitated studies of morphological traits in an elite maize population. 2. Determination of QTLs for grain yield and yield components. *Journal of Theoretical and Applied Genetics*, 89: 451-458.
- 30- Voorrips, R.E., (2002). MapChart: software for the graphical presentation of linkage maps and QTLs. *The Journal of Heredity* 93(1): 77-78.
- 31- Wang, J., Sun, G.A.S., Ren, X., Li, C., Liu, L., Wang, Q., Du, B., Sun, D., (2016). QTL underlying some agronomic traits in barley detected by SNP markers. *BMC genetics*, 17(1): 103.
- 32- Wang, J., Yang, J., McNeil, D. L., Zhou, M., (2010). Identification and molecular mapping of a dwarfing gene in barley (*Hordeum vulgare* L.) and its correlation with other agronomic traits. *Euphytica*, 175(3): 331-342.
- 33- Xiao, J.Li.J., Yuan, L., Tanksley, S.D., (1996). Identification of QTLs affecting traits of agronomic importance in a recombinant inbred population derived from a subspecific rice cross. *Journal of Theoretical and Applied Genetics*, 92(2): 230–244.

Importance of chromosome 4 in genetic controlling Spike Related Traits in Barley

Taghizadeh Z.¹, Sabouri H.¹, Hosseini Moghaddam H.¹, Fallahi H.A.² and Katouzi M.³

¹ Dept. of Plant Propduction, Faculty of Agriculture and Natural Resources, Gonbad Kavous University, Gonbad Kavous, I.R. of Iran

² Dept. of Horticulture Crops Research, Mazandaran Agricultural and Natural Resources Research and Education Center, AREEO, Sari, I.R. of Iran

³ Dept. of Plant Breeding and Biotechnology, Gorgan Agriculture Science and Natural Resources, Gorgan, I.R. of Iran

Abstract

In order to identify QTLs controlling traits related to spike population of 103 F₃ and F₄ family of barely derived from the cross of Badia and Kavir were assessed based on a randomized complete block design with three replications at the Agriculture and Natural Resource of Gonbad Kavous University in 2014 and 2016. The studied traits were a grains number in spike, spike length, spikelets in spike, total spike weight, total spike and awn length. Based on a composite interval mapping, nineteen QTLs were identified for the studied traits. Phenotypic variation that was explained by these QTLs, varied from 10-34%. The highest phenotypic variations were related to awn length and grains in a spike in the first and second year respectively. The Highest and lowest LOD scores were obtained for the QTLs of grains in the spike and spike length in the second year respectively. Negative and positive additive effects for identified QTLs showed the inheritance of favorable alleles from both parental lines to progenies in the detected loci. For the studied traits, five QTLs colocated for grain number per spike, spike weight, number of spikelets per spike, spike length and awn length. The markers showed tight linkage with major QTLs, could be used in marker assisted selection breeding programs for selection of superior family and incorporating of favorable alleles in to commercial barley varieties.

Key words: Barley, QTL analysis, Microsatellite Markers, Linkage Map